

X-ray

Generation, properties



Wilhelm Konrad
Röntgen
(1845-1923)
Nobel prize, 1901

**Sitzungs-Berichte
der
Physikalisch-medizinischen Gesellschaft
zu WURZBURG.**

Jahrgang 1896. Das Atmungssystem eines Jungen betrifft A. Dr. Röntgen reicht einen Beitrag. Dr. B. Schlesinger und Dr. C. H. Stahlberg L. M. ein Bericht über die Anwendung der Röntgenstrahlen in Würzburg.

Diskuss. Zweiter Beitrag: Untersuchung des jugendlichen Thorax. Prof. Dr. F. Zehnder. Dritter Beitrag: Ueber eine Art von Strahlen, welche durch die Röntgenstrahlen erzeugt werden. Prof. Dr. W. C. Roentgen. Vierter Beitrag: Ueber die Anwendung der Röntgenstrahlen in Würzburg. Prof. Dr. W. C. Roentgen.

Am 28. Dezember wurde als Beitrag eingereicht:
W. C. Röntgen: Ueber eine neue Art von Strahlen.
(Vorlesungs-Mitschreibe)

1. Es kann nach einer Röntgenstrahlung, oder einer gründig vorbereiteten Röntgenstrahlung, oder einem Apparatus die Entleuchtung eines größeren Zahnschädel's geben und nicht, wie früher meistens geschehen, dass nur ein kleiner Teil davon entleuchtet wird, während der Rest im Dunkeln bleibt. Wenn man einen solchen Zahnschädel in die Nähe des Apparates bringt, so kann man in dem vollständig entleuchteten Zahnschädel einen kleinen Dampfstrahl sehen, der Röntgenstrahlungsträger, aus dem Zahnschädel hervorgeht. Jeder Elektrode ist eine Röntgenstrahlung gleichzeitig ab entsprechender oder die andere Seite des Schirmes des Entleuchtungsapparats zugewandt. Die Fluoreszenz ist noch in 9 cm Entfernung vom Apparate merklich.

2. Ich kann hiermit bestätigen, dass die Ursache der Fluoreszenz vom Entleuchtungsapparate und von keiner anderen Stelle der Leitung ausgeht.

3. Das an dieser Eröffnung zunächst aufgeführte ist, dass es sich um schwere Carcinomfälle, welche keine sichtbare oder allzuvolle Stelle des Seins, oder des elektrischen Begegnungsortes darstellen, ein Augen Blindergrätz, das in Städte ist, und Pfeile sind, welche die Röntgenstrahlen nicht wohl passirt unterscheiden, an zwei anderen Körpern diese Eigenschaft besitzen.

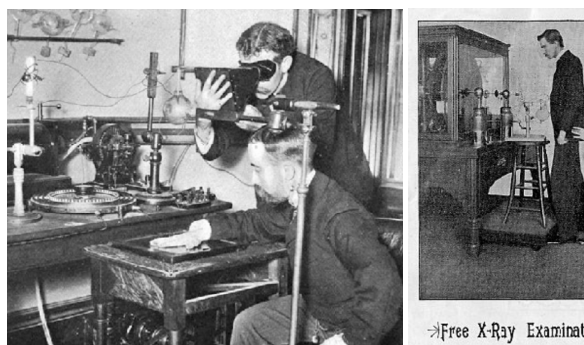
4. Ich habe jetzt, dass alle Körper für Röntgenstrahlung sichtbar in sehr verschiedenem Grade, einige Beispiele führen will, um Papier zu sehr durchdringen. Hier befindet sich eine

9. XII. "Zur Bekämpfung" eines Krebses besteht in den Verhältnissen der Häufigkeit eines durch den Körper gehenden Fluoreszenzstrahls zu denjenigen Häufigkeiten der Schritte, welche dieser Krebs während einer Zeitspanne um die Körper geht.



Hand mit Ringen (Hand with Ring); print of Wilhelm Röntgen's first "medical" X-ray, of his wife's hand, taken on 22 December 1895 and presented to Professor Ludwig Zehnder of the Physik Institut, University of Freiburg, on 1 January 1896. The dark oval on the third finger is a shadow produced by her ring.

Paper funnel radioscope



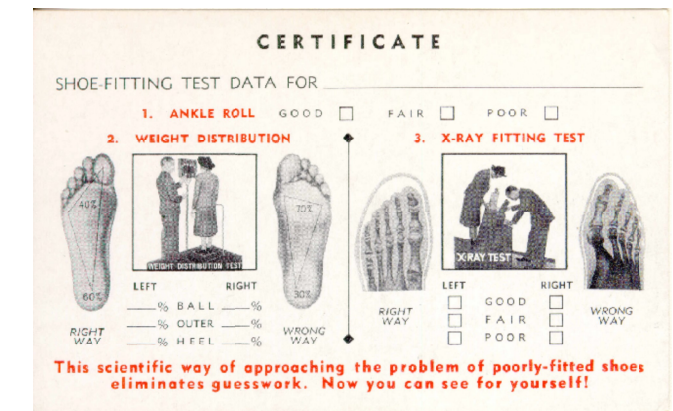
Late 1890s



I. World war



Shoe-fitting fluoroscope (1930-50)



Medical diagnostics



1940

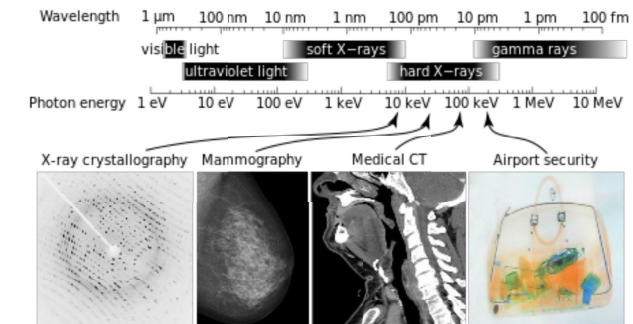


1950



today

X-rays are electromagnetic waves



Wavelength 10 - 0.01 nm. **Frequency** 30×10^{15} - 30×10^{18} Hz. **Energy** 120 eV - 120 keV.
(petahertz - exahertz)

X-rays

- Generation of X-rays
- X-ray spectrum
- Interaction with matter 1: diffraction
- Interaction with matter 2: absorption
- X-ray absorption mechanisms:
Photoelectric effect
Compton scatter
Pair production

Generation of X-ray (non-conventional)

Triboluminescence: light emission evoked by scratching or rubbing. Francis Bacon, 1605.



Peeling away sticky tape emits light...

...and X-rays. (Nature News, October 2008)

Generation of X-ray: in Cathode Ray Tube

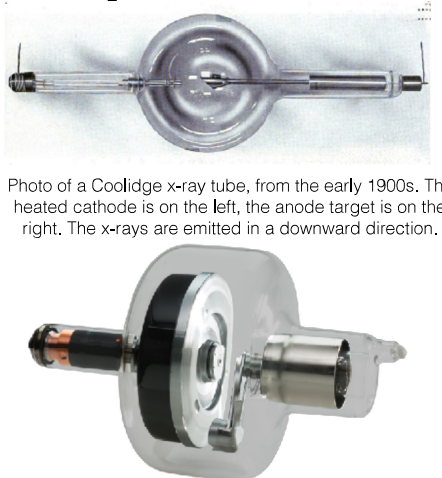
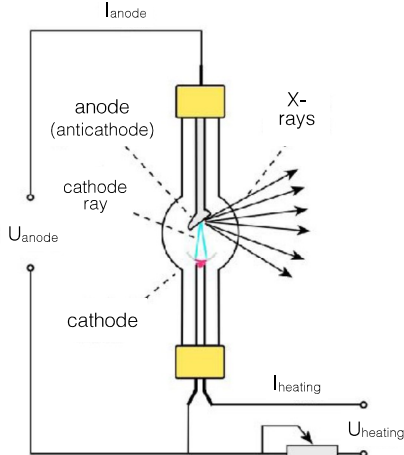
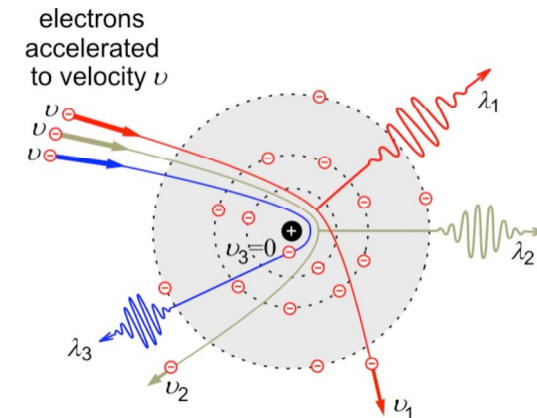


Photo of a Coolidge x-ray tube, from the early 1900s. The heated cathode is on the left, the anode target is on the right. The x-rays are emitted in a downward direction.

Rotating-anode X-ray tube. Anode rotation is used for cooling.

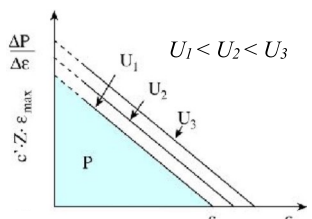
“Bremsstrahlung”



Electrons decelerate, thereby lose their kinetic energy, when interacting with the atoms of the anode (“braking radiation”).

Spectrum of Bremsstrahlung

Continuous spectrum

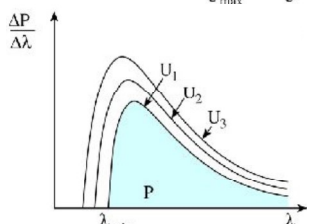


$$eU_{\text{anode}} = \epsilon_{\text{max}} = hf_{\text{max}}$$

Maximal photon energy (ϵ_{max})
N.B.: Total kinetic energy of electron is transformed in one step (rare event).
 e : electron's charge;
 U_{anode} : accelerating voltage;
 eU_{anode} : acceleration work;
 h : Planck's constant;
 f_{max} : limiting frequency

$$\lambda_{\text{min}} = \frac{hc}{e} \cdot \frac{1}{U_{\text{anode}}}$$

Limiting wavelength (λ_{min})
(Duane-Hunt Law)
N.B.: Limiting wavelength is inversely proportional to accelerating voltage.
 c : light speed;
 hc/e : constant (1.2398 kV·nm)



$$\frac{\Delta P}{\Delta \lambda} = c \cdot Z \cdot (\epsilon_{\text{max}} - \epsilon)$$

Energy spectrum
(energy dependence of power)

$$P_{\text{tot}} = \frac{1}{2} c \cdot Z \cdot \epsilon_{\text{max}}^2 = c \cdot Z \cdot U_{\text{anode}}^2 \cdot e^2$$

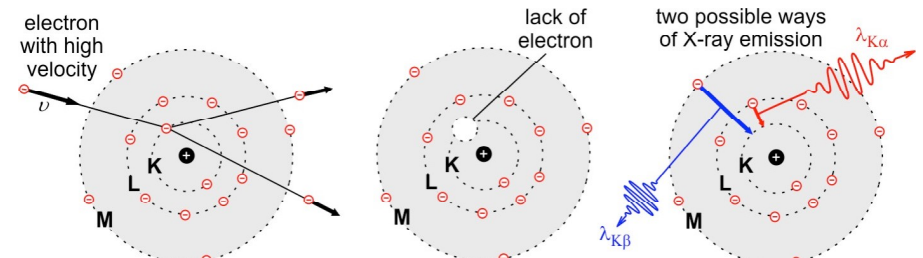
$$P_{\text{tot}} = C_{\text{Rig}} \cdot I_{\text{anode}} \cdot U_{\text{anode}}^2 \cdot Z$$

Total power (P_{tot})
(based on the area of the triangle)
 C_{Rig} : coefficient ($1.1 \times 10^{-9} \text{ V}^{-1}$);
 I_{anode} : anode current (number of electrons hitting the anode per unit time);
 Z : atomic number of the anode atoms

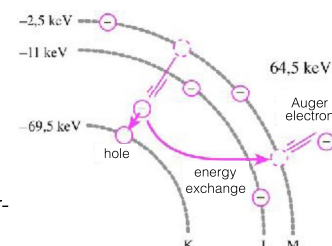
$$\eta = \frac{P_{\text{tot}}}{P_{\text{in}}} = \frac{C_{\text{Rig}} \cdot I_{\text{anode}} \cdot U_{\text{anode}}^2 \cdot Z}{I_{\text{anode}} \cdot U_{\text{anode}}} = C_{\text{Rig}} \cdot U_{\text{anode}} \cdot Z$$

Efficiency (η)
 P_{in} : invested power
N.B.: Typically, $\eta < 1\%$.

Characteristic X-ray

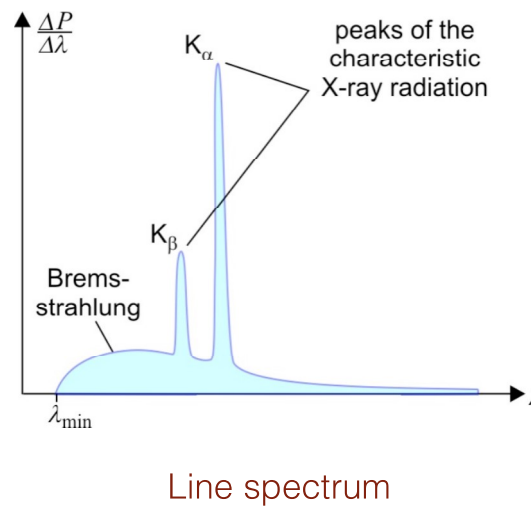


Knocked-out inner-shell electron is replaced by one on a higher-energy shell



Energy of electron transition may be used for the escape of an outer-shell electron: Auger electron

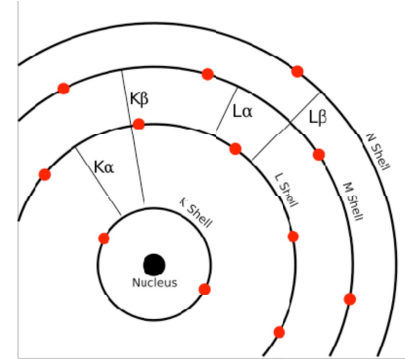
Spectrum of characteristic X-ray



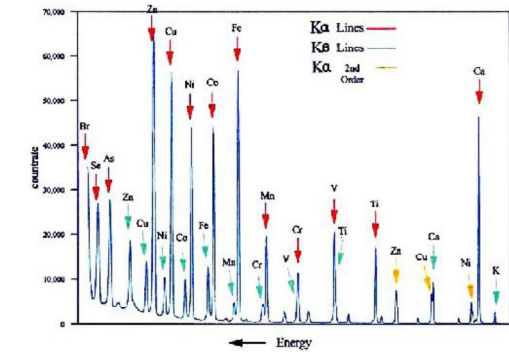
Line spectrum

X-ray spectrum characterizes the atomic composition

Because inner-shell electrons participate in characteristic X-radiation, only the atomic (and not the molecular) properties are revealed



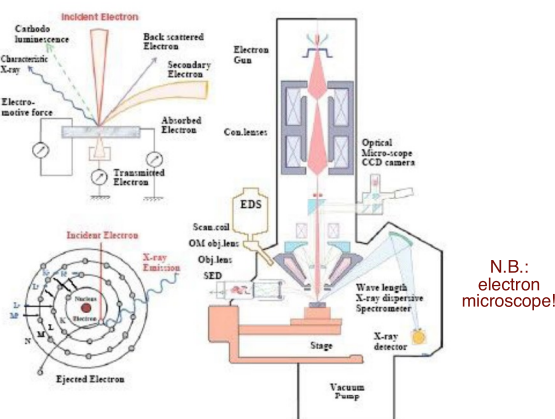
Electronic transitions in a calcium atom.



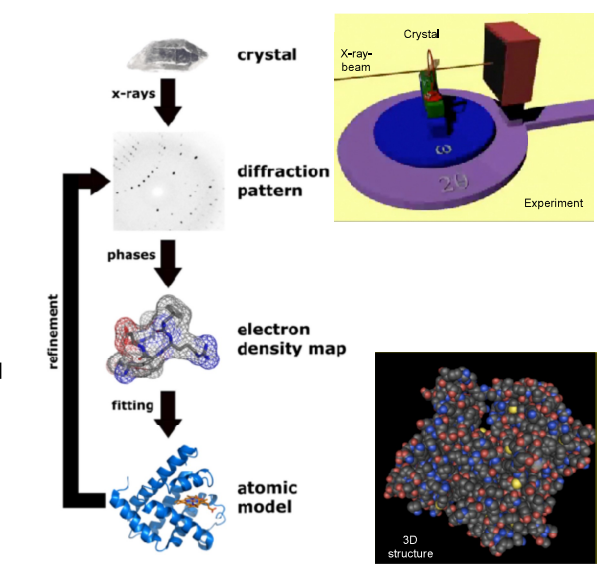
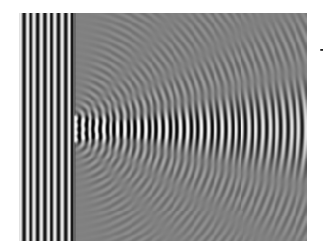
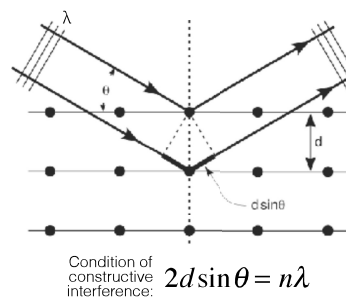
Energy dispersive X-ray fluorescence spectrum.

Detection of characteristic X-ray

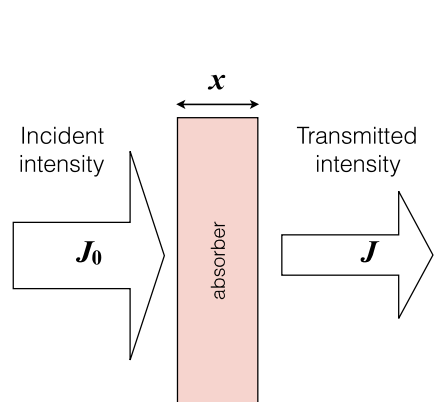
Electron probe microanalyzer



X-ray diffraction



X-ray absorption



Exponential attenuation principle

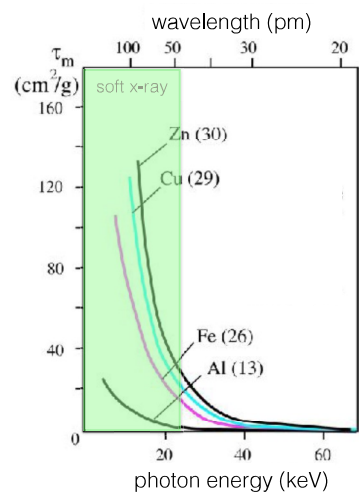
$$J = J_0 e^{-\mu x}$$

$$\mu = \mu_m \rho$$

μ : attenuation coefficient
 μ_m : mass attenuation coefficient (cm^2/g)
 ρ : density (g/cm^3)

μ_m is the sum of the mass attenuation coefficients of the different absorption mechanisms.

Photoeffect attenuation depends strongly on the atomic number



$$\tau_m = \text{const} \cdot \frac{Z^3}{\epsilon^3} = C \cdot \lambda^3 \cdot Z^3$$

For multi-component system:
“effective atomic number” (Z_{eff})

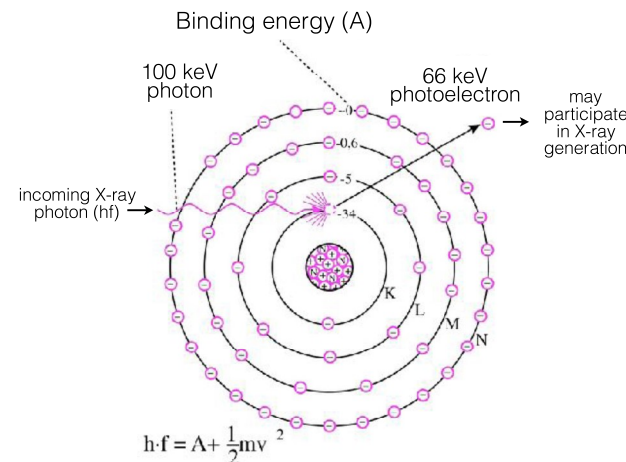
$$Z_{\text{eff}} = \sqrt[3]{\sum_{i=1}^n w_i Z_i^3}$$

ϵ =photon energy
 Z =atomic number
 w =mole fraction
 n =number of components

Material	Z_{eff}
Air	7.3
Water	7.7
Soft tissue	7.4
Bone	13.8

X-ray photoeffect

Main effect in diagnostic X-ray!

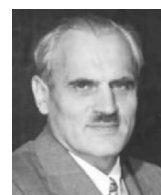


Photoeffect attenuation coefficient:

$$\tau = \tau_m \rho$$

τ_m =photoeffect mass attenuation coefficient
 ρ =density

Compton scatter



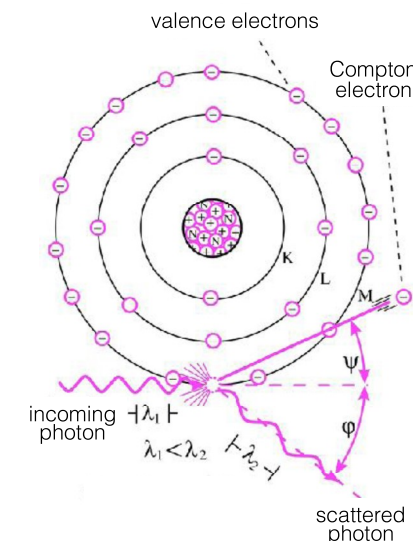
Arthur Holly Compton (1892-1962)

$$hf = A + hf_{\text{scatt}} + E_{\text{kin}}$$

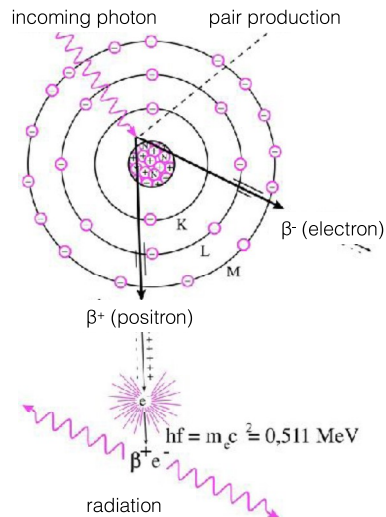
A =work function
 hf_{scatt} =energy of scattered photon
 E_{kin} =kinetic energy of Compton-electron

Compton-effect attenuation coefficient:

$$\sigma = \sigma_m \rho$$



Pair production



(relevant only in therapeutic x-ray)

Energy balance:

$$hf = 2m_e c^2 + 2E_{kin}$$

m_e =mass of electron
 c =speed of light

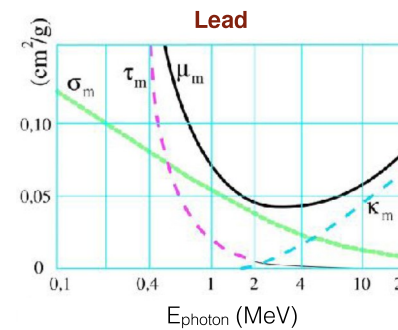
Pair production attenuation coefficient:

$$\kappa = \kappa_m \rho$$

Pair production relevant in high-energy X-ray photons, γ -radiation.

Attenuation mechanisms

Dependence on photon energy and material



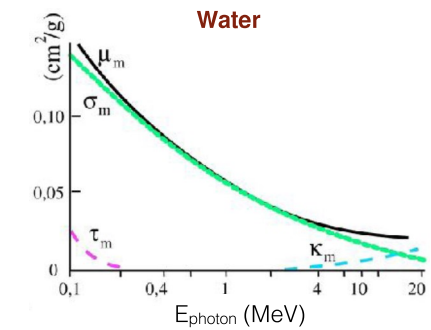
$$\mu = \tau + \sigma + \kappa$$

μ_m =mass attenuation coefficient

σ_m =Compton effect mass attenuation coefficient

τ_m =photoeffect mass attenuation coefficient

κ_m =pair production mass attenuation coefficient



Summary of attenuation mechanisms

Mechanism	Photon energy (ε) dependence of the mass attenuation coefficient	Atomic number (Z) dependence of the mass attenuation coefficient	Relevant energy range in soft tissue
Rayleigh scatter	$\sim 1 / \varepsilon$	$\sim Z^2$	1 - 30 keV
Photoeffect	$\sim 1 / \varepsilon^3$	$\sim Z^3$	10 - 100 keV
Compton scatter	falls gradually with ε	$\sim Z/A$ (A: mass number)	0.5 - 5 MeV
Pair production	rises slowly with ε	$\sim Z^2$	> 5 MeV

Diagnostic X-ray:

1. Contrast mechanism between soft tissue and bone: photoeffect ($\sim Z^3$)
2. Contrast mechanism within soft tissue: Compton-scatter ($\sim \rho$)